

УДК 546.46:[547.415.1:547.442.3]:543.442.3:543.573

**КРИСТАЛЛИЧЕСКАЯ СТРУКТУРА ДВУХ КОМПЛЕКСОВ,
СОДЕРЖАЩИХ *tris*-(β -ДИКЕТОНАТО)МАГНАТ-АНИОН**

**Е.С. Викулова, Д.А. Пирязев, К.В. Жерикова, Н.И. Алфёрова, Н.Б. Морозова,
И.К. Игуменов**

Институт неорганической химии им. А.В. Николаева СО РАН, Новосибирск
E-mail: lazorevka@mail.ru

Статья поступила 18 сентября 2012 г.

С доработки — 15 октября 2012 г.

Методом РСА определены структуры комплексов $(H_2TMEDA)[Mg(ptac)_3]_2$ (**1**, TMEDA = $= Me_2N(CH_2)_2NMe_2$, ptac = ' $BuCOCHCOCF_3$ ') и $(H_2TMEDA)[Mg(hfac)_3](hfac)$ (**2**, hfac = $= CF_3COCHCOCF_3$) при температуре 150 К. Кристаллографические данные для комплекса **1**: $a = 10,2919(3)$, $b = 10,9492(4)$, $c = 15,4159(6)$ Å, $\alpha = 87,117(1)$, $\beta = 89,686(1)$, $\gamma = 79,864(1)$ °, пр. гр. $P\bar{1}$, $Z = 1$, $R = 0,0573$; для комплекса **2**: $a = 12,9446(2)$, $b = 23,0035(4)$, $c = 13,1473(3)$ Å, $\beta = 98,779(1)$, пр. гр. $P2_1/n$, $Z = 4$, $R = 0,0605$. Структуры ионного типа, атом металла координирует 6 атомов кислорода трех β -дикетонатных лигандов. Расстояния Mg—O в комплексе **1** лежат в интервале 2,036(2)—2,0920(19) Å, в комплексе **2** — в интервале 2,051(2)—2,076(2) Å. Пространственную упаковку определяет система водородных связей между катионами $(H_2TMEDA)^{2+}$ и анионами $[Mg(ptac)_3]^-$ (**1**) или $hfac^-$ (**2**). Проведено термогравиметрическое исследование комплекса **1**.

Ключевые слова: магний, β -дикетонаты, диамины, рентгеноструктурный анализ, термогравиметрия.

Химия комплексов магния с β -дикетонатами интенсивно развивается с середины прошлого века в связи с их применением в процессах химического осаждения из газовой фазы (CVD) в качестве летучих предшественников для получения тонких пленок оксида магния, которые интенсивно используются в качестве буферных, диэлектрических, оптических, защитных или эмиссионных слоев в микроэлектронике [1—4]. За это время получено и исследовано большое количество как непосредственно β -дикетонатов магния [1, 5—7], так и их аддуктов с молекулами воды [8—10], спиртов [7, 11], глинов [12] и диаминов [11, 13—16]. Синтезированы также комплексы магния, состоящие из анионов $[Mg(hfac)_3]^-$ и катионов протонированных аминов (тетраэтилэтилендиамина [15] и 1,8-бис(диметиламино)нафталена [17]). Образование подобных соединений считалось нехарактерным для магния; вместе с тем их существование открывает возможность создания нового класса Mg-содержащих летучих предшественников: комплексов $M^I[Mg(\beta-dik)_3]$ (M^I — щелочной металл), перспективных для получения магнийсодержащих покрытий методом CVD. Так, было показано, что соединения подобного типа $M^I[M^II(hfac)_3]$ ($M^II = Co$, $M^I = K, Rb, Cs$; $M^II = Ni$, $M^I = Cs$ [18]) и $M^I[M^III(\beta-dik)_4]$ ($M^III = Sc, Y, La$, $M^I = K, Cs$, $\beta-dik = hfac$, $MeCOCHCOCF_3$ [19—21]; $M^III = Y$, $M^I = Cs$, $\beta-dik = ptac$ [3]) являются летучими.

В настоящем сообщении представлен синтез, кристаллическая структура и термические свойства комплекса $(H_2TMEDA)[Mg(ptac)_3]_2$, а также кристаллическая структура его "аналога" $(H_2TMEDA)[Mg(hfac)_3](hfac)$.

ЭКСПЕРИМЕНТАЛЬНАЯ ЧАСТЬ

Общая процедура синтеза. Навеску $MgSO_4 \cdot 7H_2O$ помещали в коническую колбу с при соединенным к ней обратным холодильником, растворяли в 10 мл воды, добавляли TMEDA и перемешивали в течение 30 мин. Затем в реакционную смесь вводили раствор β -дикетона в 10 мл EtOH и перемешивали в течение 6 ч. Синтез проводили при комнатной температуре.

(H_2 TMEDA)[Mg(ptac)₃]₂ (1) формировался в виде белого осадка после 3 ч перемешивания реакционной смеси. Осадок отфильтровывали, промывали водой, сушили на воздухе. Продукт очищали перекристаллизацией из хлороформа. Из 1,26 г $MgSO_4 \cdot 7H_2O$ (5,1 ммоль), 0,59 г TMEDA (0,77 мл, 5,1 ммоль) и 2,03 г Hptac (1,45 мл, 10,3 ммоль) получено 2,06 г (1,54 ммоль) комплекса **1**. Выход 90 %. Элементный анализ (ат.-%): для $C_{54}H_{78}F_{18}O_{12}N_2Mg_2$ найдено: C 49,0, H 5,6, N 2,3, F 25,8; вычислено: C 48,5, H 5,9, N 2,1, F 25,6. ИК спектр (см^{-1}): 3044, 2969, 2873 ($\nu_s + \nu_{as}(\text{CH})$); 2736 $\nu(\text{NH})$; 1661, 1643 ($\nu(\text{C=O}) + \nu(\text{C=C})$); 1591—1492 ($\nu(\text{C=O}) + \nu(\text{C=C}) + \delta(\text{HCH}) + \text{деф. цикла}$); 1475, 1466 $\delta(\text{HCH})_{\text{Me}}$; 1395, 1365 $\delta(\text{HCH})_{\text{tBu}}$; 1300 ($\nu(\text{CC}) + \nu_{as}(\text{CF}) + \text{деф. цикла}$); 1254, 1153 ($\nu(\text{CC}) + \text{деф. цикла}$); 1182, 1129 ($\nu_s(\text{CF}) + \text{деф. цикла}$); 1020 $\delta(\text{HCH})$; 993, 970, 952 ($\delta(\text{HCH}) + \text{деф. цикла}$); 578, 474 ($\nu(\text{MgO})$); 692, 520 ($\delta(\text{FCF}) + \text{деф. цикла}$). Кристаллы **1**, пригодные для РСА, получали медленной кристаллизацией из хлороформа.

(H_2 TMEDA)[Mg(hfac)₃](hfac) (2). При взаимодействии 0,86 г $MgSO_4 \cdot 7H_2O$ (3,5 ммоль), 0,41 г TMEDA (0,53 л, 3,5 ммоль) и 1,47 г Hhfac (1,05 л, 7,1 ммоль) в описанных условиях выпадения осадка не наблюдали. После синтеза органическую часть реакционной смеси экстрагировали хлороформом, масса твердого вещества после упаривания растворителя составила 1,20 г. Варьирование условий как синтеза, так и перекристаллизации выделяемого твердого остатка приводит к образованию исключительно смеси продуктов, среди которых удалось получить пригодные для РСА кристаллы комплекса **2** (с использованием хлороформа или толуола в качестве растворителя).

Методы исследования. Элементный CHNF анализ образцов был выполнен в Новосибирском институте органической химии им. Н.Н. Ворожцова согласно опубликованным методикам [22, 23]. ИК спектры поглощения исследуемых образцов снимали на спектрометре Scimitar FTS 2000 в области 375—4000 см^{-1} . Образцы готовили прессованием в виде таблеток с KBr. Отнесение полос ИК спектров проводили путем сравнения с литературными данными [24—27]. Термический анализ проводили на термоанализаторе Netzsch TG 209 F1 Iris, выпускаемом с прилагаемым пакетом программ Proteus analysis [28]. Масса навески составляла 10 мг. Эксперимент проводили в атмосфере гелия (30,0 мл/мин, открытый тигель Al_2O_3 , 10 град./мин).

Рентгеноструктурный анализ комплексов **1** и **2** проведен по стандартной методике на автоматическом четырехкружном дифрактометре Bruker X8 ApeX, оснащенном двухкоординатным CCD-детектором, при температуре 150 К с использованием молибденового излучения ($\lambda = 0,71073 \text{ \AA}$) и графитового монохроматора. Интенсивности отражений измерены методом ф-сканирования узких ($0,5^\circ$) фреймов. Кристаллографические характеристики и детали дифракционных экспериментов приведены в табл. 1. Поглощение учтено полуэмпирически по программе SADABS [29]. Структуры расшифрованы прямым методом и уточнены полноматричным МНК в анизотропном приближении с помощью комплекса программ SHELXTL [29]. Основные длины связей приведены в табл. 2. Координаты атомов депонированы в Кембриджском банке структурных данных (КБСД, депозитарные коды 895277 и 895278 для комплексов **1** и **2** соответственно), откуда могут быть получены по запросу на сайте www.ccdc.cam.ac.uk/data_request/cif. *triet*-Бутильные группы двух лигандов ptac в комплексе **1** разупорядочены вследствие вращения вокруг связи C—C. Вес мажорных компонент составляет 80 и 55 %. Две трифторметильные группы комплекса **2** разупорядочены на три позиции, поэтому соответствующие атомы фтора описаны в изотропном приближении. Координаты атомов водорода при атомах азота уточнены по дифракционным данным.

Таблица 1

Кристаллографические данные и условия эксперимента для комплексов 1 и 2

Соединение	1	2
Брутто-формула	C ₅₄ H ₇₆ F ₁₈ N ₂ O ₁₂ Mg ₂	C ₂₆ H ₂₂ F ₂₄ N ₂ O ₈ Mg
Молекулярный вес	1335,79	970,77
Сингония	Триклинная	Моноклинная
Пространственная группа	P <bar{1}< td=""><td>P2₁/n</td></bar{1}<>	P2 ₁ /n
Параметры ячейки: <i>a</i> , <i>b</i> , <i>c</i> , Å;	10,2919(3), 10,9492(4), 15,4159(6);	12,9446(2), 23,0035(4), 13,1473(3);
α, β, γ, град.	87,117(1), 89,686(1), 76,864(1)	98,799(1)
<i>V</i> , Å ³ ; <i>Z</i>	1689,56(10); 1	3868,81(13); 4
Плотность (расчетная), г/см ³	1,313	1,667
Коэффициент поглощения, мм ⁻¹	0,139	0,208
<i>F</i> (000)	696	1936
Размер кристалла, мм	0,40×0,30×0,25	0,40×0,30×0,20
Область θ, град.	2,03—25,68	2,06—25,00
Диапазон <i>h</i> , <i>k</i> , <i>l</i>	-11 ≤ <i>h</i> ≤ 12, -12 ≤ <i>k</i> ≤ 13, -18 ≤ <i>l</i> ≤ 18	-15 ≤ <i>h</i> ≤ 15, -28 ≤ <i>k</i> ≤ 27, -15 ≤ <i>l</i> ≤ 15
Число измерен. / независ. рефлексов	15449 / 6270 [R(int) = 0,0326]	31425 / 6822 [R(int) = 0,0422]
Полнота сбора данных по θ = 25,0°, %	97,9	99,9
Макс. и мин. пропускание	0,9660 и 0,9464	0,9596 и 0,9214
Число рефлексов / оgrp. / параметров	4739 / 0 / 403	6822 / 0 / 578
<i>S</i> -фактор по <i>F</i> ²	1,000	1,038
<i>R</i> -фактор [<i>I</i> > 2σ(<i>I</i>)]	<i>R</i> ₁ = 0,0573, <i>wR</i> ₂ = 0,1494	<i>R</i> ₁ = 0,0605, <i>wR</i> ₂ = 0,1405
<i>R</i> -фактор (все данные)	<i>R</i> ₁ = 0,0783, <i>wR</i> ₂ = 0,1657	<i>R</i> ₁ = 0,0809, <i>wR</i> ₂ = 0,1555
Макс. и мин. остаточной эл. плотности, е/Å ³	0,678 и -0,444	0,68 и -0,49

Таблица 2

Избранные длины связей и валентные углы для анионов [Mg(β-dik)₃]⁻

Связь	Длина, Å		Угол	Величина, град.	
	[Mg(ptac) ₃] ⁻	[Mg(hfac) ₃] ⁻		[Mg(ptac) ₃] ⁻	[Mg(hfac) ₃] ⁻
Mg(1)—O(1)	2,0394(19)	2,061(2)	O(1)—Mg(1)—O(2)	84,76(8)	85,53(9)
Mg(1)—O(2)	2,053(2)	2,058(2)	O(1)—Mg(1)—O(3)	101,60(8)	86,65(10)
Mg(1)—O(3)	2,068(2)	2,057(2)	O(1)—Mg(1)—O(4)	89,96(8)	89,82(10)
Mg(1)—O(4)	2,053(2)	2,076(2)	O(1)—Mg(1)—O(5)	96,76(8)	93,93(10)
Mg(1)—O(5)	2,0920(19)	2,060(2)	O(2)—Mg(1)—O(5)	96,07(8)	92,94(10)
Mg(1)—O(6)	2,036(2)	2,051(2)	O(3)—Mg(1)—O(5)	84,08(8)	90,56(7)
O(1)—C(2A)	1,280(3)	1,245(2)	O(4)—Mg(1)—O(2)	94,92(8)	90,55(10)
O(2)—C(4A)	1,240(3)	1,246(4)	O(4)—Mg(1)—O(3)	84,35(8)	86,05(10)
O(3)—C(2B)	1,263(3)	1,252(4)	O(6)—Mg(1)—O(2)	83,39(8)	94,88(10)
O(4)—C(4B)	1,247(3)	1,248(4)	O(6)—Mg(1)—O(3)	90,21(8)	92,96(10)
O(5)—C(2C)	1,286(3)	1,249(4)	O(6)—Mg(1)—O(4)	87,91(8)	90,64(10)
O(6)—C(4C)	1,236(3)	1,245(4)	O(6)—Mg(1)—O(5)	87,65(8)	85,60(9)

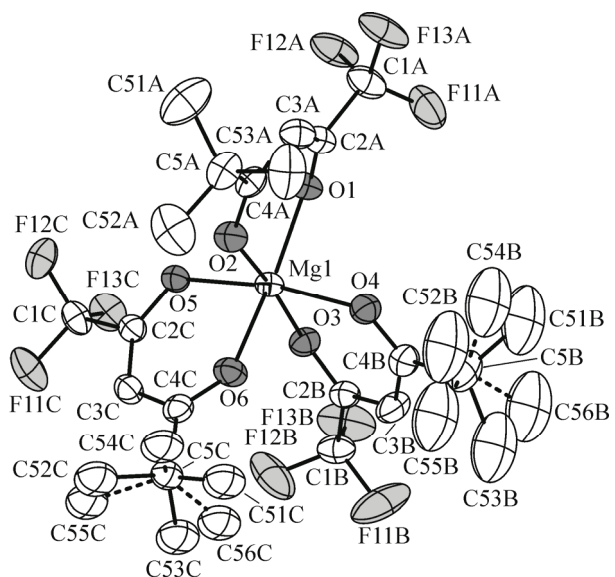


Рис. 1. Фрагмент структуры комплекса 1: строение аниона $[\text{Mg}(\text{ptac})_3]^-$ с нумерацией атомов.
Атомы водорода не приведены для упрощения картины

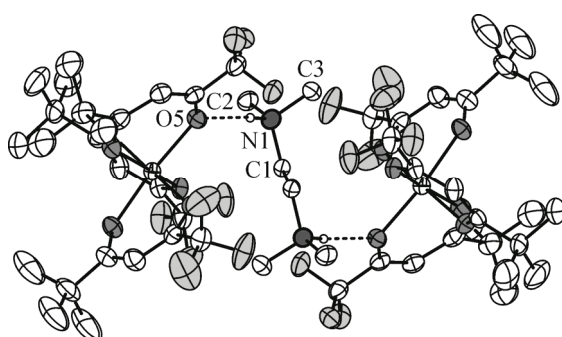


Рис. 2. Структурообразующий фрагмент комплекса 1: два аниона $[\text{Mg}(\text{ptac})_3]^-$ и один катион $(\text{H}_2\text{TMEDA})^{2+}$, связанные между собой водородными связями (изображены пунктиром).
С целью упрощения рисунка атомы водорода, не участвующие в образовании водородных связей, не приведены, а для разупорядоченных групп анионов изображены только мажорные компоненты

РЕЗУЛЬТАТЫ И ИХ ОБСУЖДЕНИЕ

Структура комплекса 1 ионного типа содержит катионы $\text{H}_2\text{TMEDA}^{2+}$ и анионы $[\text{Mg}(\text{ptac})_3]^-$ (рис. 1, 2). При этом два аниона и один катион связаны между собой двумя симметрично-зависимыми водородными связями $\text{O}(5)\dots\text{HN}(1)$, длины которых равны $1,929 \text{ \AA}$, угол $\text{N}(1)\text{HO}(5) = 166(3)^\circ$ (см. рис. 2). Данные фрагменты (см. рис. 1) формируют кристаллическую упаковку, в мотиве которой можно выделить две псевдоцепочки: вдоль направления (001) и (100); последняя является гофрированной.

Координационное окружение магния представляет собой искаженный октаэдр, в вершинах которого располагаются 6 атомов кислорода трех лигандов ptac (см. рис. 2). Длины связей $\text{Mg}\text{—O}$ лежат в интервале $2,036(2)\text{—}2,0920(19) \text{ \AA}$, при этом наибольшим является расстояние между атомом магния и кислородом $\text{O}(5)$, принимающим участие в образовании водородной связи (см. табл. 2).

Три лиганда ptac координированы к атому магния бидентатно-циклическим способом, причем все трифторметильные группы обращены в сторону катиона. Образованные при этом шестичленные металлоциклы не являются плоскими, углы между плоскостями OMgO и $\text{OC}\gamma\text{O}$ в случае лигандов *A*, *B* и *C* составляют $20,85(13)$, $25,18(15)$ и $10,11(15)^\circ$ соответственно. Таким образом, наименьший изгиб имеет цикл, атом кислорода которого ($\text{O}(5)$) образует водородную связь с катионом. Хелатные углы меньше 90° (см. табл. 2).

Во всех лигандах ptac (см. табл. 2) наблюдается незначительное характерное [30, 31] укорочение расстояния $\text{C}\text{—C}\gamma$ со стороны трифторметильных групп ($\text{C}(2i)\text{—C}(3i)$, $i = A, B, C$) по сравнению с таковыми со стороны *трет*-бутильных групп ($\text{C}(3i)\text{—C}(4i)$, $i = A, B, C$). Первые укладываются в интервал $1,361(4)\text{—}1,368(4) \text{ \AA}$, а вторые лежат в интервале $1,422(4)\text{—}1,439(4) \text{ \AA}$. Также наблюдается некоторое растяжение связей $\text{C}\text{—O}$ со стороны трифторметильных групп: их длины составляют $1,263(3)\text{—}1,286(3) \text{ \AA}$, тогда как расстояния $\text{C}\text{—O}$ со стороны *трет*-бутильных групп составляют $1,236(3)\text{—}1,247(3) \text{ \AA}$. Следует отметить, что расстояние $\text{C}(2C)\text{—O}(5)$ практически не увеличено по сравнению с остальными расстояниями $\text{C}\text{—O}$ со стороны трифторметильных групп.

Таким образом, образование водородной связи $\text{O}(5)\dots\text{HN}(1)$ не приводит к изменению длины связи $\text{C}(2C)\text{—O}(5)$, оказывая влияние только на длину связи $\text{Mg}\text{—O}(5)$.

Таблица 3

Избранные длины связей и валентные углы для катиона $\text{H}_2\text{TMEDA}^{2+}$

Связь	Длина, Å	Связь	Длина, Å	Угол	Величина, град.
Комплекс 1					
N(1)—C(1)	1,498(3)	N(1)—C(13)	1,492(5)	C(11)—N(1)—C(13)	112,8(3)
N(1)—C(3)	1,497(3)	N(2)—C(14)	1,511(5)	C(15)—N(2)—C(14)	114,5(4)
N(1)—C(2)	1,491(3)	N(1)—C(11)	1,495(5)	C(12)—N(1)—C(13)	112,8(3)
C(1)—C(1')*	1,514(5)	N(2)—C(15)	1,457(5)	C(16)—N(2)—C(14)	114,3(3)
Угол	Величина, град.	N(1)—C(12)	1,492(5)	C(11)—N(1)—C(12)	111,6(3)
C(3)—N(1)—C(1)	111,5(2)	N(2)—C(16)	1,493(5)	C(15)—N(2)—C(16)	110,2(3)
C(2)—N(1)—C(1)	110,6(2)	C(13)—C(14)	1,484(5)	N(1)—C(13)—C(14)	113,7(3)
C(2)—N(1)—C(3)	110,3(2)			N(2)—C(14)—C(13)	113,7(3)
N(1)—C(1)—C(1')*	110,1(3)				

* $1-x, 1-y, 1-z$.

Две половины катиона $\text{H}_2\text{TMEDA}^{2+}$ в структуре **1** симметрично связаны центром инверсии, расположенным на его связи C—C. Длины связей N—C практически равны и близки к расстоянию C(1)—C(1') (табл. 3). Оба атома азота тетраметилэтилендиамина связаны с катионами водорода, что подтверждается наличием максимума электронной плотности на дифрактограмме РСА и величинами углов CN(1)C, близкими к тетраэдрическим. Кроме того, наличие протона, связанного с атомом азота, также доказывает наличие в ИК спектре соединения **1** полосы при 2736 см^{-1} , относящейся к валентным колебаниям связи N—H группы R_3NH^+ [26]. Ранее было показано, что ^1H ЯМР спектроскопия в применении к подобным соединениям не позволяет детектировать наличие протона, что связано с участием протона связи N—H в быстром обмене [15]. Таким образом, использование ИК спектроскопии для подтверждения строения подобных соединений обладает несомненным преимуществом. Строение катиона $\text{H}_2\text{TMEDA}^{2+}$ в структуре соединений **1** и **2** принципиально не различается (см. табл. 3).

В отличие от комплекса **1**, в состав соединения **2** помимо аниона $[\text{Mg}(\beta\text{-dik})_3]^-$ и катиона $\text{H}_2\text{TMEDA}^{2+}$ входит также анион соответствующего β -дикетона. Структура **2** ионная, однако водородных связей между комплексным анионом и катионом не обнаружено. Оба протона частицы $\text{H}_2\text{TMEDA}^{2+}$ участвуют в образовании водородных связей с ионом hfac^- , причем каждый атом кислорода карбонильной группы контактирует с каждым из протонов катиона (средн. длина $2,84(3)$ Å, значения углов NHO лежат в интервале $134(3)$ — $140(4)$ °, рис. 3, *a*). Взаимодействие между образованным таким образом фрагментом и анионом $[\text{Mg}(\text{hfac})_3]^-$ можно описать как кулоновское. В пространственной упаковке можно выделить слои из анионов $[\text{Mg}(\text{hfac})_3]^-$ и пар $\{\text{H}_2\text{TMEDA}^{2+} + \text{hfac}^-\}$, расположенные вдоль направления (001).

Структура аниона $[\text{Mg}(\text{hfac})_3]^-$ (см. рис. 3, *b*) принципиально не отличается ни от описанной ранее [15, 17], ни от строения аналогичных анионов $[\text{M}^{\text{II}}(\text{hfac})_3]^-$, содержащих другой металлоцентр ($\text{M}^{\text{II}} = \text{Mn, Fe}$ [32], Co [32, 33], Ni [32, 34], Cu [17, 32, 33], Zn [35]). Заметным различием в координационном окружении центрального атома в указанных анионах является только тетрагональное искажение октаэдра в случае атома меди, обусловленное эффектом Яна—Теллера. Между анионами $[\text{Mg}(\text{hfac})_3]^-$ и $[\text{Mg}(\text{ptac})_3]^-$ существуют различия в пространственном строении, обусловленные, по-видимому, большим объемом лиганда ptac (см. табл. 2). Так, длины связей Mg—O в соединении **2** лежат в более узком интервале, чем в соединении **1** (2,051(2)—2,076(2) Å и 2,036(2)—2,0920(19) Å соответственно), а изгиб металлоциклов в анионе $[\text{Mg}(\text{hfac})_3]^-$ существенно меньше, чем в анионе $[\text{Mg}(\text{ptac})_3]^-$: для соединения **2** углы между плоскостями OMgO и OC γ O в случае лигандов *A*, *B* и *C* составляют 15,92, 6,02 и 1,70° соответственно. Соединений, содержащих анион типа $[\text{M}^{\text{II}}(\text{ptac})_3]^-$, в доступной литературе не найдено.

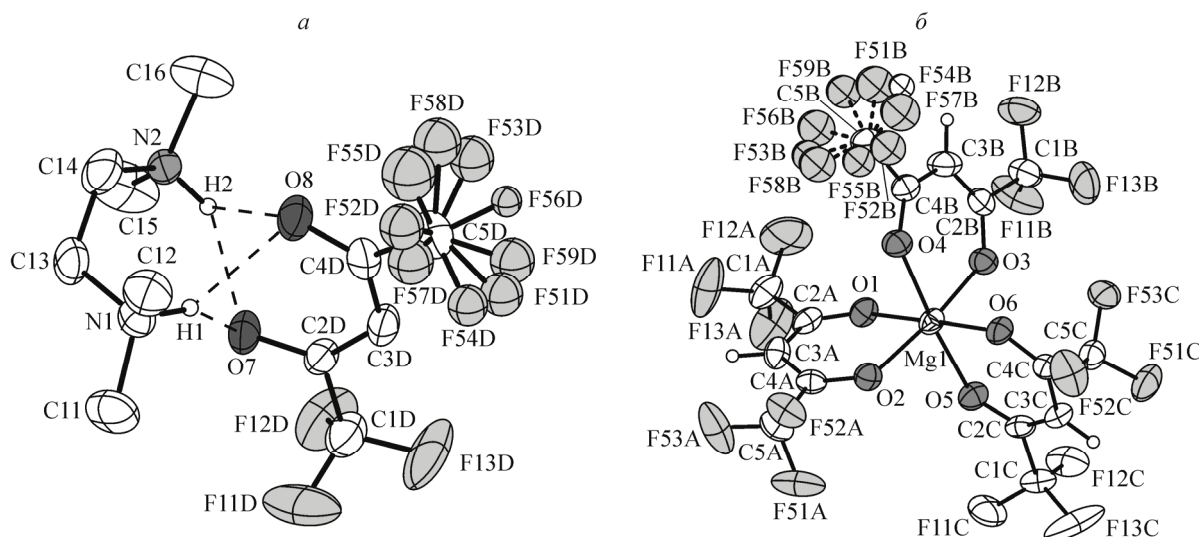
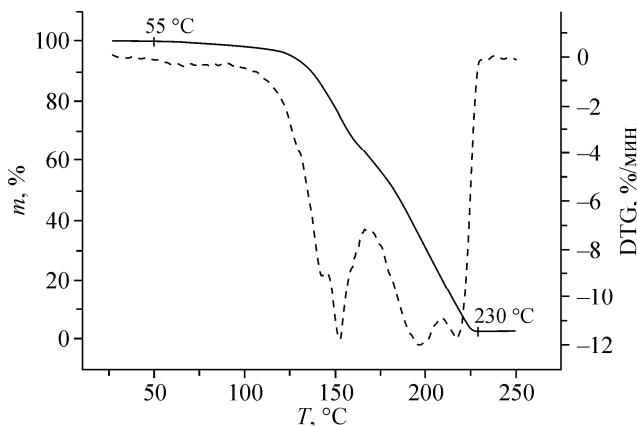


Рис. 3. Структурообразующие фрагменты комплекса 2: катион $\text{H}_2\text{TMEDA}^{2+}$, связанный водородными связями с анионом hfac^- ; атомы водорода, не участвующие в образовании водородных связей, не приведены (a); анион $[\text{Mg}(\text{hfac})_3]^-$ (b)

Для других элементов II группы Периодической системы структуры, содержащие именно анионы $[\text{M}^{\text{II}}(\beta\text{-dik})_3]^-$, также неизвестны. Этот факт можно объяснить увеличением ионного радиуса элементов. Так, для кальция описана структура, содержащая анион $[\text{Ca}(\text{adtfac})_3(\text{H}_2\text{O})]^-$ ($\text{adtfac} = \text{AdCOCHCOCF}_3$, Ad = 1-адамантил), в котором координационное число кальция равно 7 [36]. Для стронция координационное число в подобных анионах составляет 8 ($[\text{Sr}(\text{tfac})_4]^{2-}$, $\text{tfac} = \text{CH}_3\text{COCHCOCF}_3$ [37], $[\text{Sr}(\text{btfac})_4]^{2-}$, $\text{btfac} = \text{PhCOCHCOCF}_3$ [38]), для бария — 8 ($[\text{Ba}(\text{hfac})_4]^{2-}$ [39]) или 9 ($[\text{Ba}(\text{hfac})_5]^{3-}$ [40]).

Термическое поведение комплекса 1 в интервале температур 25—250 °C исследовали методом термогравиметрии (рис. 4). Наличие нескольких пиков на кривой DTG свидетельствует о многоступенчатости процесса, что, по-видимому, связано с протекающими параллельно процессами сублимации и разложения. Элементный анализ сублимата (110—130 °C, 10^{-3} Торр) показывает практическое полное отсутствие азота (0,3 ат.%, на уровне погрешности метода). Со-поставление результатов элементного анализа и данных ИК спектроскопии позволяет идентифицировать сублимат как $\text{Mg}(\text{ptac})_2(\text{H}_2\text{O})_2$ (для $\text{C}_{16}\text{H}_{24}\text{O}_6\text{F}_6\text{Mg}$ найдено (ат.%): C 43,3, H 5,4, F 24,7; рассчитано: C 42,6, H 5,4, F 25,2; характеристические полосы ИК спектра (cm^{-1}) коррелируют с представленными в литературе [10]: 3434 $\nu(\text{OH})$; 2976, 2881 $\nu(\text{CH})$; 1627 ($\nu(\text{C=O}) + \nu(\text{C=C}) + \delta(\text{HOH})$); 1304 ($\nu(\text{CC}) + \nu_{\text{as}}(\text{CF}) + \text{деф. цикла}$); 1196, 1143 ($\nu_s(\text{CF}) + \text{деф. цикла}$); 580, 482



$\nu(\text{MgO})$). По нашему мнению, при нагревании комплекса 1 разлагается согласно уравнению



причем образующийся $\text{Mg}(\text{ptac})_2$ (строение его неизвестно, но предположительно по аналогии с другими β -дикетонатами магния соединение представляет собой олигомер

Рис. 4. Термограмма комплекса 1 (атмосфера He, скорость нагрева 10 град./мин)

[Mg(ptac)₂]_n, n = 2—3 [6, 7]) при попадании на воздух поглощает воду, превращаясь в комплекс Mg(ptac)₂(H₂O)₂, что согласуется с литературными данными о поведении β-дикетонатов магния [10].

Работа выполнена при поддержке Российского фонда фундаментальных исследований грант № 12-03-31277 мол_а.

СПИСОК ЛИТЕРАТУРЫ

1. Hatch L.F., Sutherland G. // J. Org. Chem. – 1948. – **13**, N 2. – P. 249.
2. Zhao Yu-W., Suhr H. // Appl. Phys. A. – 1992. – **54**. – P. 451.
3. Vikulova E.S., Zherikova K.V., Zelenina L.N. et al. // Key Eng. Mat. – 2012. – **508**. – P. 215.
4. Raj A.M.E., Jayachandran M., Sanjeeviraja C. // CIRP J. Manuf. Sci. Techn. – 2010. – **2**. – P. 93.
5. Hammond G.B., Nonhebel D.C., Wu Ch-H.S. // Inorg. Chem. – 1963. – **2**, N 1. – P. 73.
6. Weiss E., Kopf J., Gardein T. et al. // Chem. Ber. – 1985. – **118**. – P. 3529.
7. Hatanpää T., Ihanus J., Kansikas J. et al. // Chem. Mater. – 1999. – **11**, N 7. – P. 1846.
8. Morosin B. // Acta Crystallogr. – 1967. – **22**. – P. 315.
9. Кузьмина Н.П., Рязанов М.В., Троянов С.И. и др. // Кординац. химия. – 1999. – **25**, № 6. – С. 409.
10. Морозова Н.Б., Жаркова Г.И., Стабников П.А. и др. Синтез и физико-химическое исследование β-дикетонатов щелочно-земельных металлов. – Новосибирск, 1989. – (Препринт / АН СССР. Сибирское отделение. Институт неорганической химии; № 89-08).
11. Hatanpää T., Kansikas J., Mutikainen I. et al. // Inorg. Chem. – 2001. – **40**, N 4. – P. 788.
12. Fragala M.E., Toro R.G., Rossi P. et al. // Chem. Mater. – 2009. – **21**, N 10. – P. 2062.
13. Соболева И.Е., Троянов С.И., Кузьмина Н.П. // Координац. химия. – 1996. – **22**, № 8. – С. 579.
14. Babcock J.R., Benson D.D., Wang A. et al. // Chem. Vapor Depos. – 2000. – **6**, N 4. – P. 180.
15. Wang L., Yang Yu, Ni J. et al. // Chem. Mater. – 2005. – **17**, N 23. – P. 5697.
16. Maria M., Selvakumar J., Raghunathan V.S. et al. // Surf. Coat. Tech. – 2009. – **204**. – P. 222.
17. Truter M.R., Vickery B.L. // J. Chem. Soc., Dalton Trans. – 1972. – P. 395.
18. Гуревич М.З., Сас Т.М., Мазепова Н.Е. и др. // Журн. неорган. химии. – 1975. – **20**. – С. 735.
19. Гуревич М.З., Степин Б.Д., Зеленцов В.В. // Журн. неорган. химии. – 1970. – **15**. – С. 890.
20. Lippard S.J. // J. Amer. Chem. Soc. – 1966. – **88**. – P. 4800.
21. Гуревич М.З., Сас Т.М., Степин Б.Д. и др. // Журн. неорган. химии. – 1971. – **16**. – С. 2099.
22. Фадеева В.П., Морякина И.М. // Изв. СО АН СССР. Сер. хим. – 1981. – **6**. – С. 113.
23. Fadeeva V.P., Tikhova V.D., Nikulicheva O.N. // J. Anal. Chem. – 2008. – **63**. – P. 1094.
24. Struik J.S., Walter J.L. // Spectrochim. Acta A. – 1971. – **27**. – P. 209.
25. Nakamoto K. Infrared and Raman spectra of inorganic and organic compounds. –New York: John Wiley & Sons, Inc., 1997.
26. Гордон А., Форд Р. Спутник химика: Пер. с англ. – М.: Мир, 1976.
27. Basova T.V., Kiselev V.G., Filatov E.S. et al. // Vib. Spectroscop. – 2012. – **61**. – P. 219.
28. NETZSCH Proteus Thermal Analysis v.4.8.1. NETZSCH-Gerätebau. – Bayern, Germany, 2005.
29. Bruker: SADABS, SAINT and SHELLXTL. Bruker AXS Inc. – Madison, Wisconsin, USA, 2008.
30. Gromilov S.A., Baidina I.A. // J. Struct. Chem. – 2004. – **45**, N 6. – P. 1031.
31. Zherikova K.V., Kuratieva N.V., Baidina I.A. et al. // J. Struct. Chem. – 2010. – **51**, N 6. – P. 769.
32. Villamena F.A., Dickman M.H., Crist D.L.R. // Inorg. Chem. – 1998. – **37**, N 7. – P. 1446.
33. Mehdi H., Binnemans K., Van Hecke K. et al. // Chem. Commun. – 2010. – **46**. – P. 234.
34. Фурсова Е.Ю., Кузнецова О.В., Овчаренко В.И. и др. // Изв. А. Сер. хим. – 2008. – **6**. – С. 1175.
35. Coles S.J., Granijo J., Hursthouse M.B. et al. // Acta Crystallogr. – 2001. – **E57**. – P. m535.
36. Pocheukutova T.S., Khamylov V.K., Fukin G.K. et al. // Polyhedron. – 2011. – **30**. – P. 1945.
37. Darr J.A., Drake S.R., Hursthouse M.B. et al. // J. Chem. Soc., Dalton Trans. – 1997. – P. 945.
38. Marchetti F., Pettinari C., Pettinari R. et al. // Inorg. Chem. – 2006. – **45**, N 7. – P. 3074.
39. Otway D.J., Rees Jr. W.S. // Coord. Chem. Rev. – 2000. – **210**. – P. 279.
40. Huang L., Turnipseed S.B., Haltiwanger R.C. et al. // Inorg. Chem. – 1994. – **33**, N 4. – P. 798.